

Das CPT-Theorem

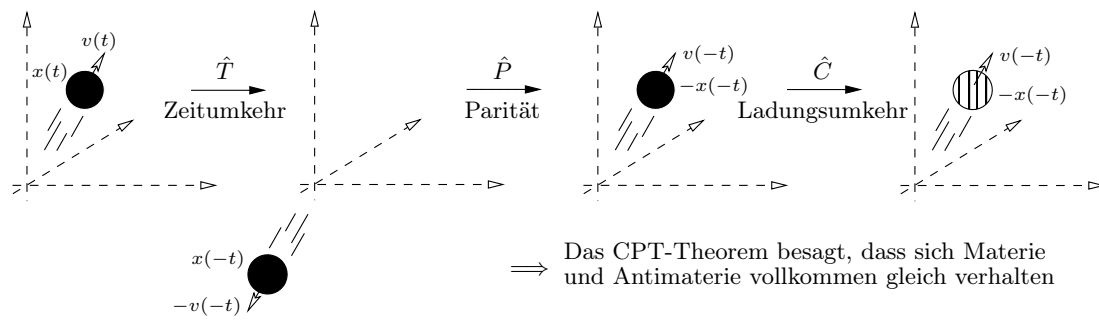


Abbildung 1: Illustration der Anwendung von Parität P, Ladungsumkehr C und Zeitumkehr T in der Zusammenstellung des CPT-Theorems aus Sicht eines außenstehenden Beobachters.

Symmetrien und Erhaltungsgrößen in der Physik

Erhaltungsgröße / Symmetrie	stark	el.-magn.	schwach
Energie E , Impuls \vec{p} , Drehimpuls \vec{l}	•	•	•
elektrische Ladung q , Leptonen-/Baryonen-Zahl n_L/n_B	•	•	•
Strangeness s	•	•	×
Charmness (Charm) c	•	•	×
Bottomness (Beauty) b , Topness (Truth) t	•	•	×
Isospin I_s	•	×	×
Parität \hat{P}	•	•	×
Ladungskonjugation \hat{C}	•	•	×
Zeitumkehr \hat{T}	•	•	×
Raum-/Ladungsumkehr-Symmetrie $\hat{C}\hat{P}$	•	•	×
Zeit-/Raum-/Ladungsumkehr-Symmetrie $\hat{C}\hat{P}\hat{T}$	•	•	•

Tabelle 1: Übersicht der Erhaltung „•“ bzw. Verletzung „×“ von Symmetrien und physikalischen Größen im Zusammenhang mit den einzelnen Wechselwirkungen.

Konstituenten der betrachteten Elementarteilchen

Pionen / Λ	K -Mesonen	D -Mesonen	B -Mesonen
$\pi^0 = u\bar{u} - d\bar{d}$	$K^0 = d\bar{s}$ $\bar{K}^0 = s\bar{d}$	$D^0 = c\bar{u}$ $\bar{D}^0 = u\bar{c}$	$B^0 = d\bar{b}$ $\bar{B}^0 = b\bar{d}$
$\pi^+ = u\bar{d}$	$K^+ = u\bar{s}$ $K^- = s\bar{u}$	$D^+ = c\bar{d}$ $D^- = d\bar{c}$	$B^+ = u\bar{b}$ $B^- = b\bar{u}$
$\pi^- = d\bar{u}$		$D_s^+ = c\bar{s}$ $D_s^- = s\bar{c}$	$B_c^+ = c\bar{b}$ $B_c^- = b\bar{c}$
$\Lambda = uds$			$B_s^+ = s\bar{b}$ $B_s^- = b\bar{s}$

Tabelle 2: Quark-Zusammensetzung der betrachteten Teilchen.

Starke Erzeugung von Kaonen

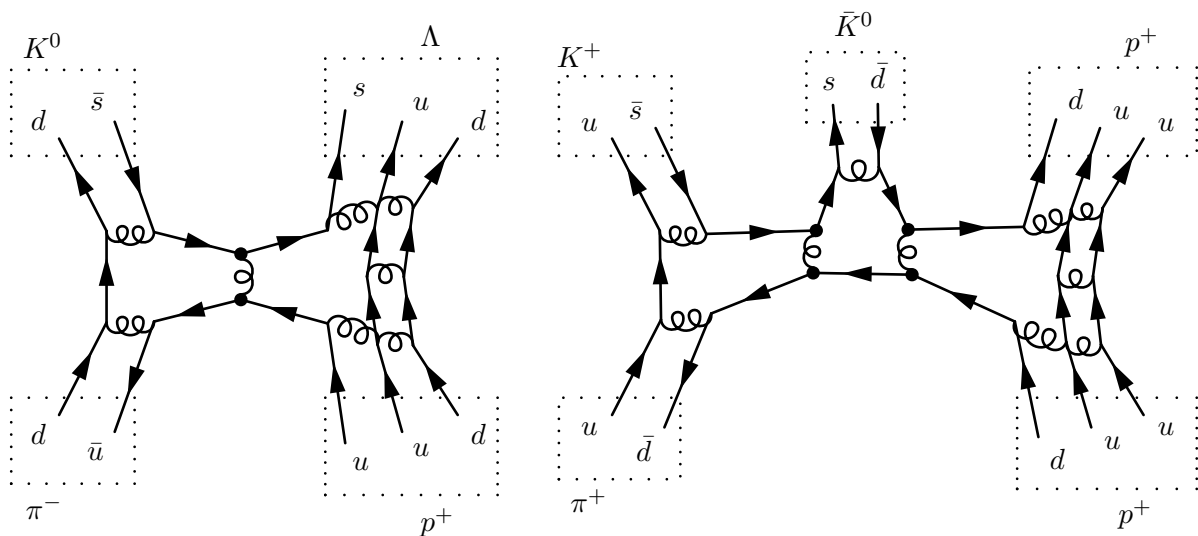


Abbildung 2: Erzeugung neutraler K^0 - und \bar{K}^0 -Mesonen durch die starke Wechselwirkung, wobei nur diejenigen Gluonen mit punktierten Vertizes am Erzeugungsprozess beteiligt sind.

Oszillation bzw. Mischung von neutralen Kaonen



Abbildung 3: K^0 - \bar{K}^0 -Kaonen-Mischung bzw. -Oszillation durch Einfluß der schwachen Wechselwirkung.

Zerfallsprozesse in der Weisskopf-Wigner-Approximation

Problem: Exponentieller Zerfall führt zu *komplexen* Energieeigenwerten:

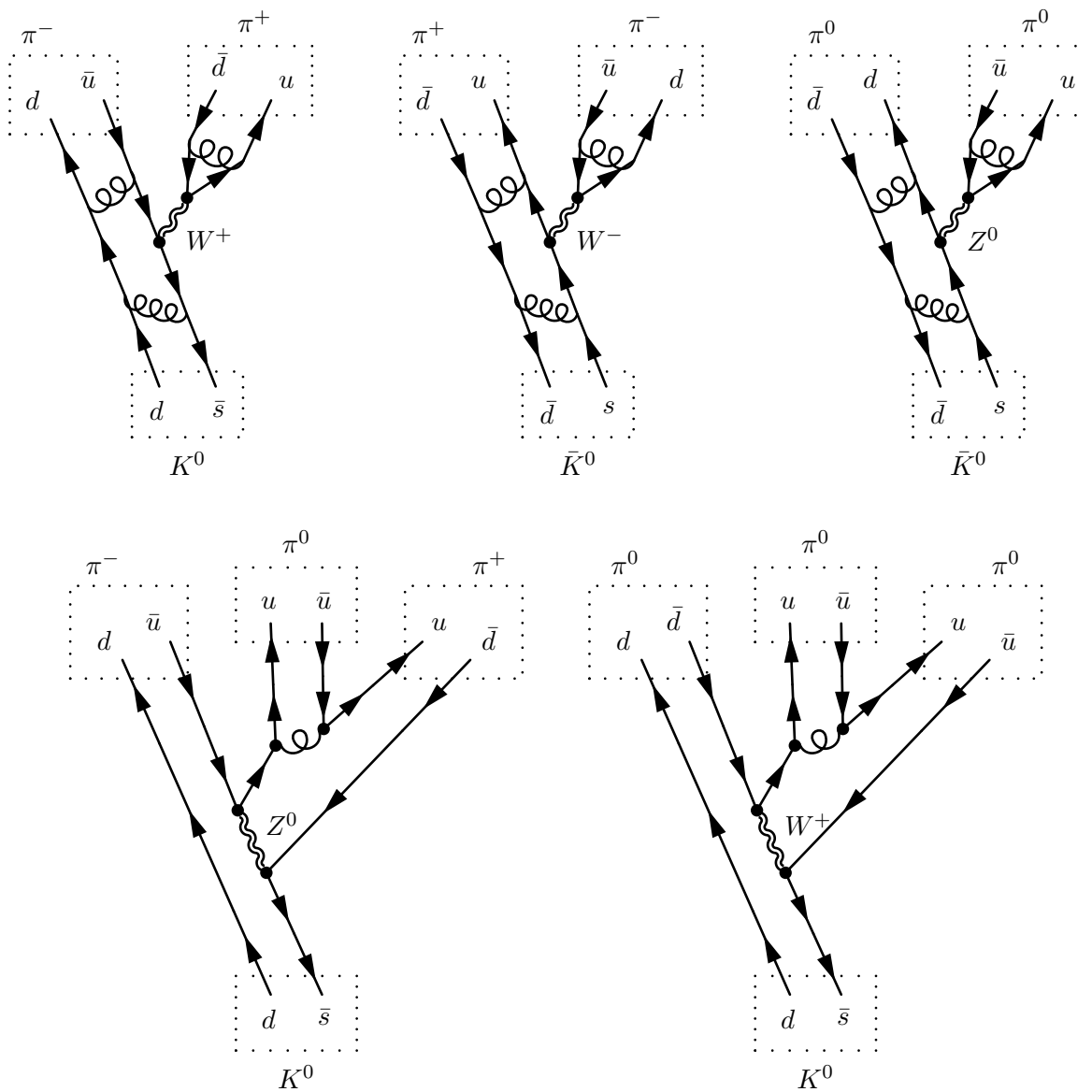
$$|\psi(t)\rangle = e^{-i\hat{H}t}|\psi(0)\rangle = e^{-iE_0t}|\psi(0)\rangle \quad \implies \quad A(t) = \langle\psi(0)|\psi(t)\rangle = \langle\psi(0)|e^{-iE_0t}|\psi(0)\rangle$$

Lösung: Ignoriere dieses Problem und betrachte die *effektive Schrödinger-Gleichung*:

$$i\frac{\partial}{\partial\tau}|\psi(\tau)\rangle = \left(m - i\frac{\Gamma}{2}\right)|\psi(\tau)\rangle \quad \text{bzw.} \quad i\frac{\partial}{\partial\tau}|\psi(\tau)\rangle = \hat{\mathcal{M}}|\psi(\tau)\rangle$$

mit der sogenannten *komplexen Masse*, zusammengesetzt aus einer reellen **Masse** m und der **Zerfallsrate** Γ .

Schwacher/Starker Pionen-Zerfall des neutralen Kaons



Einfluss der CP-Symmetrie im Zerfallsprozess

Kaonen zeigen *pseudoskalares* Verhalten:

$$\begin{aligned} \hat{P}|K^0\rangle = -|K^0\rangle & \quad \text{und} \quad \hat{C}|K^0\rangle = |\bar{K}^0\rangle & \implies & \hat{C}\hat{P}|K^0\rangle = -|\bar{K}^0\rangle \\ \hat{P}|\bar{K}^0\rangle = -|\bar{K}^0\rangle & & & \hat{C}\hat{P}|\bar{K}^0\rangle = -|K^0\rangle \end{aligned}$$

Eigenzustände des $\hat{C}\hat{P}$ -Operators:

$$\begin{aligned} |K_1^0\rangle & := \frac{1}{\sqrt{2}}(|K^0\rangle - |\bar{K}^0\rangle) & \hat{C}\hat{P}|K_1^0\rangle & = |K_1^0\rangle \\ |K_2^0\rangle & := \frac{1}{\sqrt{2}}(|K^0\rangle + |\bar{K}^0\rangle) & \hat{C}\hat{P}|K_2^0\rangle & = -|K_2^0\rangle \end{aligned}$$

Bei CP-Symmetrie kann die Massenmatrix keine Übergänge zwischen CP-Eigenzuständen $|K_1^0\rangle$ und $|K_2^0\rangle$ bewirken!

$$\implies \text{CP-Eigenzustände } |K_1^0\rangle, |K_2^0\rangle = \mathcal{M}\text{-Eigenzustände } |K_S\rangle, |K_L\rangle$$

$$\implies \text{CP-Eigenzustände zeigen exponentielles Zerfallsverhalten}$$

$$\begin{aligned} \text{Kurzlebiger Zerfall:} & \quad K_S \rightarrow \pi^+\pi^- & \text{und} & \quad K_S \rightarrow \pi^0\pi^0 \\ \text{Langlebiger Zerfall:} & \quad K_L \rightarrow \pi^+\pi^-\pi^0 & \text{und} & \quad K_L \rightarrow 3\pi^0 = \pi^0\pi^0\pi^0 \end{aligned}$$

Aus Drehimpulserhaltung (Kaonen haben Spin 0) folgt Zuordnung:

$$\begin{aligned} |K_S\rangle & = |K_1^0\rangle & (\hat{C}\hat{P}\text{-Eigenwert } +1) \\ |K_L\rangle & = |K_2^0\rangle & (\hat{C}\hat{P}\text{-Eigenwert } -1) \end{aligned}$$

Da der langlebige Zustand einen von +1 verschiedenen Eigenwert hat, kann er deshalb nicht in zwei Pionen zerfallen.

Aber: $K_L \rightarrow \pi\pi$ wird beobachtet

Führe deshalb einen Verletzungs-Parameter

$$\varepsilon_K := \frac{A(|K_L\rangle \rightarrow |\pi\pi\rangle_{l=0})}{A(|K_S\rangle \rightarrow |\pi\pi\rangle_{l=0})}$$

ein.

Elemente des Standardmodells

- Quarks im Standard-Modell:

1. Familie	2. Familie	3. Familie		Symmetrie:
$Q'_{1L} = \begin{pmatrix} u'_L \\ d'_L \end{pmatrix}$	$Q'_{2L} = \begin{pmatrix} c'_L \\ s'_L \end{pmatrix}$	$Q'_{3L} = \begin{pmatrix} t'_L \\ b'_L \end{pmatrix}$	}	linkshändige Quark-Doublets
u'_R	c'_R	t'_R	}	rechtshändige Quark-Singulets
d'_R	s'_R	b'_R		$U(1)_Y$

- Elektroschwache Lagrange-Dichte:

$$\mathcal{L}_{SM} = \mathcal{L}_{\text{Kinetik}} + \mathcal{L}_{\text{Higgs}} + \mathcal{L}_{\text{Yukawa}}$$

- Higgs-Feld:

$$\Phi(x) := \begin{pmatrix} \phi^\dagger(x) \\ \phi^0(x) \end{pmatrix} \xrightarrow{\text{passende SU(2)-Eichung}} \frac{1}{\sqrt{2}} \begin{pmatrix} 0 \\ v + \sigma(x) \end{pmatrix}$$

- Konjugiertes Higgs-Feld:

$$\tilde{\Phi}(x) := -i\sigma_2 \Phi^*(x) = \begin{pmatrix} (\phi^0(x))^* \\ -(\phi^\dagger(x))^* \end{pmatrix} \xrightarrow{\text{Eichung von } \Phi} \frac{1}{\sqrt{2}} \begin{pmatrix} v + \sigma(x) \\ 0 \end{pmatrix},$$

- Lagrange-Teil der Yukawa-Wechselwirkungen:

$$\mathcal{L}_{\text{Yukawa}} = \sum_{i,j=1}^3 \left[\underbrace{C_{ij}^u \overline{Q}'_{iL} \tilde{\Phi} u'_{jR}}_{\substack{\text{„up“-Quark-Ww. der} \\ j. \text{ Familie mit Quarks} \\ \text{der } i. \text{ Familie}}} + \underbrace{C_{ij}^d \overline{Q}'_{iL} \Phi d'_{jR}}_{\substack{\text{„down“-Quark-Ww. der} \\ j. \text{ Familie mit Quarks} \\ \text{der } i. \text{ Familie}}} + \text{h.c.} \right]$$

Konstruktion der CKM-Matrix

- Einsetzen des Higgs-Felds und Aufspalten liefert:

$$\mathcal{L}_{\text{Yukawa}} = \sum_{i,j=1}^3 \underbrace{\frac{v}{\sqrt{2}} [C_{ij}^u \overline{u}'_{iL} u'_{jR} + C_{ij}^d \overline{d}'_{iL} d'_{jR} + \text{h.c.}]}_{\text{Quarkmassen-Term}} + \frac{\sigma(x)}{\sqrt{2}} [C_{ij}^u \overline{u}'_{iL} u'_{jR} + C_{ij}^d \overline{d}'_{iL} d'_{jR} + \text{h.c.}]$$

- Diagonalisiere 3×3 -Matrizen $C^u := [C_{ij}^u]$ und $C^d := [C_{ij}^d]$ über eine bi-unitäre Transformation:

$$V_{uL}^\dagger C^u V_{uR} = M^u := \text{diag}(m_u, m_c, m_t) \quad \text{und} \quad V_{uL}, V_{uR}, V_{dL}, V_{dR} \in U(3)$$

$$V_{dL}^\dagger C^d V_{dR} = M^d := \text{diag}(m_d, m_s, m_b),$$

Die Diagonalmatrizen M^u und M^d enthalten die **Quark-Ruhmassen**.

- Definiere **Cabibbo-Kobayashi-Maskawa-Quarkmischungs-Matrix**

$$V_{\text{CKM}} := V_{uL} V_{dL}^\dagger = \begin{pmatrix} V_{ud} & V_{us} & V_{ub} \\ V_{cd} & V_{cs} & V_{cb} \\ V_{td} & V_{ts} & V_{tb} \end{pmatrix} \in U(3)$$

Parametrisierungen und Verletzungs-Bedingung

- **Standard-Parametrisierung** der CKM-Matrix:

$$V_{\text{CKM}} = \underbrace{\begin{pmatrix} 1 & 0 & 0 \\ 0 & \cos \varphi & \sin \varphi \\ 0 & -\sin \varphi & \cos \varphi \end{pmatrix}}_{\text{Rotation in 2-3-Ebene}} \underbrace{\begin{pmatrix} \cos \vartheta & 0 & \sin \vartheta \cdot e^{-i\delta} \\ 0 & 1 & 0 \\ -\sin \vartheta \cdot e^{-i\delta} & 0 & \cos \vartheta \end{pmatrix}}_{\text{Rotation in 1-3-Ebene und Phasenfaktor } \delta_{\text{CKM}}} \underbrace{\begin{pmatrix} \cos \theta & \sin \theta & 0 \\ -\sin \theta & \cos \theta & 0 \\ 0 & 0 & 1 \end{pmatrix}}_{\text{Rotation in 1-2-Ebene}}$$

- **Wolfenstein-Parametrisierung** (Approximation):

$$V_{\text{CKM}} = \begin{pmatrix} 1 - \frac{\lambda^2}{2} & \lambda & A\lambda^3(\rho - i\eta) \\ -\lambda & 1 - \frac{\lambda^2}{2} & A\lambda^2 \\ A\lambda^3(1 - \bar{\rho} - i\bar{\eta}) & -A\lambda^2 & 1 \end{pmatrix} \quad \text{mit} \quad \begin{aligned} \lambda &= \sin \theta \\ A\lambda^2 &= \sin \varphi \\ \sin \vartheta e^{-i\delta} &= A\lambda^3(\rho - i\eta) \\ (\bar{\rho}, \bar{\eta}) &:= (\rho, \eta)(1 - \frac{\lambda^2}{2}) \end{aligned}$$

Satz (CP-Verletzung im Quark-Sektor): Eine Phase $\delta_{\text{CKM}} \neq k\pi$ für $k \in \mathbb{Z}$ in der Standard-Parametrisierung der CKM-Matrix führt zu einer Verletzung der $\hat{C}\hat{P}$ -Invarianz der Lagrange-Dichte.

Unitaritäts-Dreiecke

- Unitaritätsbedingung $V_{\text{CKM}}^\dagger V_{\text{CKM}} = V_{\text{CKM}} V_{\text{CKM}}^\dagger = \mathbb{E}$ in Komponentenform:

$$\sum_{\alpha} V_{i\alpha}^* V_{j\alpha} = \delta_{ij} \quad \text{und} \quad \sum_i V_{i\alpha}^* V_{i\beta} = \delta_{\alpha\beta}$$

- **Unitaritäts-Dreieck:** Betrachte Summanden (d.h. komplexe Zahlen) als Vektoren in \mathbb{C} .

$$\sum_{i=1}^3 V_{i1} V_{i3}^* = V_{11} V_{13}^* + V_{21} V_{23}^* + V_{31} V_{33}^* = V_{ud} V_{ub}^* + V_{cd} V_{cb}^* + V_{td} V_{tb}^* = 0$$

- **Reskaliertes Unitaritäts-Dreieck:** Richte eine Dreiecksseite zu \mathbb{R} aus und normiere diese.

- **Winkel des Dreiecks:**

$$\alpha := \arg \left(-\frac{V_{td} V_{tb}^*}{V_{ud} V_{ub}^*} \right) \quad \beta := \arg \left(-\frac{V_{cd} V_{cb}^*}{V_{td} V_{tb}^*} \right) \quad \gamma := \arg \left(-\frac{V_{ud} V_{ub}^*}{V_{cd} V_{cb}^*} \right)$$

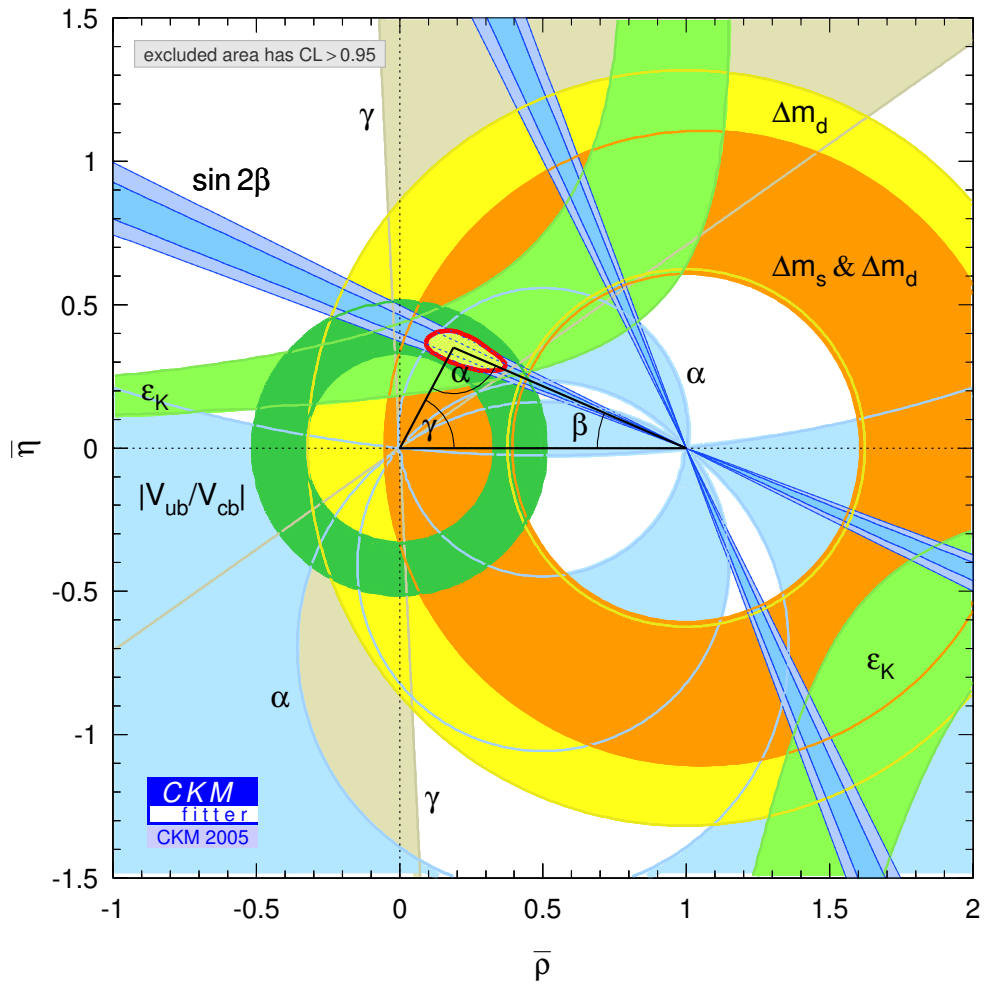


Abbildung 4: Fehlerbereiche des Standardmodells und Darstellung des reskalierten Unitaritäts-Dreiecks.